

مقاله پژوهشی

مدل‌سازی خشک‌کردن توت سیاه با سامانه مادون‌قرمز به روش الگوریتم ژنتیک- شبکه عصبی مصنوعی

علیرضا اسدی امیرآبادی^{۱*}، مهدی شوندی^۲، مهدی کاشانی‌نژاد^۲

- ۱. دانشجوی دکتری، دانشکده صنایع غذایی، دانشگاه علوم کشاورزی و منابع طبیعی گرگان
- ۲. دانشجوی کارشناسی ارشد، دانشکده صنایع غذایی، دانشگاه علوم کشاورزی و منابع طبیعی گرگان
- ۳. استاد، دانشکده صنایع غذایی، دانشگاه علوم کشاورزی و منابع طبیعی گرگان

(تاریخ دریافت: ۹۷/۳/۲۷، تاریخ آخرین بازنگری: ۹۷/۵/۱۶، تاریخ پذیرش: ۹۷/۶/۲۵)

چکیده

شاه توت سرشار از پلی فنل‌ها و آنتوسیانین‌ها است که خشک‌کردن و نگهداری آن می‌تواند ارزشمند باشد. استفاده از تابش مادون قرمز به عنوان یک روش مناسب در خشک‌کردن می‌تواند باعث کاهش زمان خشک‌کردن و کاهش هزینه‌های فرایند می‌شود. اثر توان‌های w ۱۲۰، ۱۸۰، ۲۴۰ لامپ مادون قرمز، فاصله‌های ۵، ۱۰ و ۱۵ نمونه از لامپ و زمان خشک‌کردن بر خشک‌شدن توت سیاه مورد بررسی قرار گرفت. مدل‌سازی خشک‌شدن توت سیاه به روش الگوریتم ژنتیک- شبکه عصبی مصنوعی با چهار ورودی توان، فاصله لامپ و زمان خشک‌کردن و یک خروجی درصد کاهش رطوبت انجام شد. مشخص شد که با افزایش توان لامپ و کاهش فاصله نمونه‌ها از لامپ مادون قرمز، سرعت خشک‌کردن توت سیاه به روش مادون قرمز دو طرفه به طور معنی داری ($P < 0.05$) افزایش می‌یابد. تابع فعال‌سازی سیگموئیدی به علت مقدار خطای کمتر نسبت به سایر توابع، به عنوان تابع فعال‌سازی در لایه پنهان و خروجی انتخاب گردید. برای رسیدن به بهترین شرایط یادگیری روابط بین ورودی‌ها و خروجی‌ها توسط شبکه، بر اساس انجام روش آزمون و خطای ۱۵ درصد داده‌ها برای آموزش، ۱۵ درصد داده‌ها برای آزمون شبکه آموزش دیده و ۶۰ درصد باقی مانده داده‌ها برای ارزیابی شبکه استفاده گردید. طبق نتایج به دست آمده مشخص شد با استفاده از تابع فعال‌سازی سیگموئیدی و شبکه‌ای با تعداد ۸ نرون در یک لایه پنهان می‌توان به خوبی مدل‌سازی درصد کاهش رطوبت را به روش الگوریتم ژنتیک- شبکه عصبی مصنوعی در طی فرایند خشک‌کردن توت سیاه به روش مادون قرمز دو طرفه پیشگویی کرد ($R^2 = 0.999$ ، $Mse = 0.0002$). زمان خشک‌کردن به عنوان مؤثرترین عامل برای کنترل کاهش رطوبت توت سیاه با استفاده از آنالیز حساسیت توسط شبکه عصبی بهینه معرفی شد.

واژه‌های کلیدی: خشک‌کردن، شبکه عصبی، الگوریتم ژنتیک، توت سیاه، پیشگویی، مادون‌قرمز دو طرفه.



۱. مقدمه

کنترل فرایند خشک کردن، مدل سازی ریاضی انتقال حرارت و جرم فرایند انجام می‌شود [۱۰]. اخیراً مدل سازی با استفاده از تکنیک شبکه عصبی مصنوعی (ANN) توجه زیادی را به خود جلب کرده است. شبکه‌های عصبی مصنوعی توانایی یادگیری بالایی برای شناسایی، آموزش و پیشگویی رفتارهای میوه و سبزیجات در طی خشک کردن دارند [۱۱، ۱۲].

شبکه‌های عصبی مصنوعی، قابلیت مدل سازی خطی و غیرخطی پیچیده به طور گسترده در فرایندهای صنایع غذایی با تعداد زیادی داده ورودی و خروجی می‌باشند را دارد. از مدل سازی با شبکه عصبی مصنوعی به منظور پیشگویی پارامترهای مورد نظر در طراحی و توسعه دستگاه‌های فراوری مواد غذایی استفاده می‌شود [۱۳]. تعداد نرون‌های لایه پنهان، تعداد لایه‌ها و نوع تابع فعال سازی مورد استفاده تعیین کننده توانایی پیشگویی شبکه عصبی هستند. با آزمون و خطا تعداد نرون‌های لایه پنهان تخمین زده می‌شود که این عمل دارای خطای بالای بوده و وقت گیر است. به همین دلیل از روش‌های بهینه سازی مانند الگوریتم ژنتیک (GA) به منظور بهدست آوردن تعداد بهینه نرون‌ها در لایه پنهان استفاده می‌گردد. مفاهیم اصلی الگوریتم ژنتیک شامل عملگرهای سه گانه انتخاب، آمیزش و جهش بوده که در مورد دستگاه‌های مصنوعی به کار می‌روند [۱۴، ۱۳].

در طی مطالعه جاهدی و همکاران، بررسی رفتار خشک کردن لایه نازک توت سفید با استفاده از خشک کن تلفیقی مادون قرمز-هوای داغ صورت گرفت. در این پژوهش از شبکه عصبی مصنوعی و منطق فازی به منظور مدل سازی انتقال جرم در توت سفید استفاده شد. گزارش شد که شبکه عصبی مصنوعی با $R^2 = 0.9990$ و $RMSE = 0.1988$ ، یک روش موفقیت آمیز در مدل سازی فرایند خشک کردن توت سفید بود. در پژوهشی دیگر، برای پیشگویی انتقال جرم در فرایند آبگیری اسمزی برش‌های زردآلو از شبکه عصبی چند لایه پرسپترون استفاده شد که نشان داد شبکه ای با تعداد ۱۴ نرون در یک لایه پنهان به خوبی درصد کاهش پارامترهای خروجی مورد استفاده در پژوهش را در طی فرایند آبگیری اسمزی برش‌های زردآلو را پیشگویی می‌کند. گزارش شد که مدل شبکه عصبی چند لایه پرسپترون به طور موفقیت آمیز می‌تواند به منظور تولید مخصوصی با کیفیت مطلوب، بهینه سازی فرایند و طراحی مناسب تجهیزات فراوری مورد

شاه توت (*Morus nigra*) که بومی ایران بوده سرشار از پلی فنل‌ها و آنتوسیانین‌ها و یکی از میوه‌های محبوب خوارکی است [۱، ۲]. تحقیقات نشان داده‌اند آب میوه‌های قرمز مانند انار، انگور و انواع توت‌ها به علت وجود محتواهای آنتوسیانینی و فعالیت آنتی اکسیدانی بالا بر سلامت انسان مفید هستند [۳]. هم‌چنین ثابت شده است که میوه‌ها و سبزی‌ها با محتواهای فنولی بالا دارای خواص ضد سرطانی هستند [۴]. توت سیاه به عنوان یک محصول صنعتی در تولید مربا، آب میوه، کیک، پودر میوه، رنگ غذا، سس میوه و زله، به علت وجود مقادیر بالایی از آنتوسیانین و رنگدانه فراوان مطرح است [۵].

خشک کردن یکی از قدیمی‌ترین روش‌های نگهداری مواد غذایی است که طی این فرایند از طریق انتقال هم‌زمان جرم و حرارت کاهش رطوبت و به دنبال آن کاهش فعالیت آبی در محصول صورت می‌گیرد. همین امر باعث کاهش سرعت فساد میکروبی مواد غذایی و دیگر واکنش‌های شیمیایی و بیوشیمیایی می‌شود [۶، ۷]. فرایند خشک کردن به دلیل ایجاد تغییرات فیزیکو-شیمیایی نامطلوب در محصول و در نتیجه کاهش کیفیت اهمیت زیادی در فراوری مواد غذایی دارد. فرایند خشک کردن محصولات کشاورزی به صورت متناول با هوای داغ انجام می‌شود که باعث کاهش ارزش تغذیه‌ای و بازار پسندی محصول می‌شود [۸، ۹]. از معایب اصلی خشک کردن با هوای گرم، بهره‌وری کم انرژی و مدت زمان طولانی خشک کردن به خصوص در طول دوره سرعت نزولی است. در حال حاضر بسیاری از محصولات کشاورزی و غذایی با استفاده خشک کن‌های ترکیبی با هوای داغ فرایند می‌شوند [۱۰]. امروزه استفاده از اشعه مادون قرمز به عنوان منبع انرژی حرارتی برای خشک کردن بسیاری از محصولات غذایی مورد توجه قرار گرفته است. اشعه مادون قرمز بخشی از طیف الکترومغناطیسی نور خورشید بوده و بر اساس طول موج به سه دسته مادون قرمز نزدیک با دامنه $\mu\text{m} = 0.75 - 1.4$ ، مادون قرمز متوسط با دامنه $\mu\text{m} = 1.4 - 3$ و مادون قرمز دور با دامنه $\mu\text{m} = 3 - 1000$ تقسیم می‌شود [۱۱]. استفاده موفقیت‌آمیز از فناوری مادون قرمز به منظور خشک کردن و مدل سازی بسیاری از مواد غذایی و گیاهی از جمله توت سفید، میوه کیوی، برجن، پاپریکا، سیر، بلوبری و توت مورتا گزارش شده است [۱۲-۱۵]. امروزه به منظور بهینه سازی طراحی سیستم‌های خشک کن و هم‌چنین

۲.۲ طرح کلی آزمایش‌ها

آزمایشات خشک کردن توت سیاه در سه سطح توان ۱۸۰، ۱۲۰ و ۶۰ cm و w ۲۴۰ و سه سطح فاصله نمونه‌ها از منبع تابشی ۵، ۱۰ و ۱۵ cm با استفاده از یک دستگاه خشک کن IR با سیستم تابش دو طرفه انجام شد. شکل (۱) سیستم طراحی شده مادون قرمز به منظور خشک کردن توت‌های سیاه را نشان می‌دهد. حدود نیم ساعت قبل از شروع فرایند خشک کردن، لامپ‌های IR رشتۀ ای متناسب با توان مورد نیاز تنظیم شد تا دمای سطح لامپ به حالت پایدار برسد. نمونه‌ها بر روی توری که از طریق پایه‌هایی بر روی ترازو (با دقت ۰.۰۵ gr ± 0.05) سوار بود؛ قرار داده شد. کاهش وزن نمونه‌ها در فواصل زمانی ۳ s به صورت آلاین با اتصال کابل RS232 به کامپیوتر و با استفاده از برنامه lutron 801 ساخت شرکت Lutron تایوان ثبت می‌شد. خشک کردن نمونه‌ها تا رسیدن به محتوی رطوبتی ۱۰ درصد انجام شد. آزمایش‌های خشک کردن به روش فاکتوریل در ۹ تیمار و ۲ تکرار یعنی ۱۸ آزمایش، انجام گرفت. اندازه‌گیری محتوای رطوبت نمونه‌های توت سیاه بر اساس استاندار (AOAC 1990) انجام شد؛ به طوری که مقداری نمونه قبل و پس از انجام هر آزمایش خشک کردن، در آون با دما $10.5 \pm 1^{\circ}\text{C}$ قرار داده شد و پس از رسیدن وزن نمونه‌ها به مقدار ثابت، مقدار رطوبت بر حسب گرم آب/گرم ماده خشک محاسبه شد.

۳.۲ مدل‌سازی الگوریتم ژنتیک- شبکه عصبی

مدل‌سازی فرایند خشک کردن توت سیاه به روش مادون قرمز دو طرفه جهت پیشگویی درصد کاهش وزن به روش الگوریتم ژنتیک-شبکه عصبی مصنوعی، توسط شبکه‌های عصبی سه لایه پرسپترون پیشخور انجام پذیرفت. نزون‌ها در این نوع شبکه در سه لایه ورودی، پنهان و خروجی دسته بندی می‌شوند.

خروچی نزون‌های لایه پنهان و خروجی (y) از طریق افزایش بایاس به مجموع ورودی‌های وزن دار شده با استفاده از رابطه (۱) محاسبه شد [۱۵]:

$$y = \sum_{i=1}^p f(W_{ij}X_i + b_j) \quad (1)$$

در رابطه فوق W_{ij} ضریب وزنی نزون شماره i است که به نزون شماره j متصل می‌باشد. P تعداد ورودی‌های هر نزون و b_j بردار بایاس نزون ز است.

در این پژوهش سه ورودی (توان لامپ، فاصله نمونه از لامپ و

استفاده قرار گیرد [۱۵].

مطالعه‌ای به منظور بررسی خشک کردن توت سفید با استفاده از جریان هوای گرم مورد بررسی قرار گرفت. در این مطالعه از شبکه عصبی چند لایه برای مدل‌سازی کاهش رطوبت در توت سفید استفاده شد. بنابر گزارشات مشخص شد که شبکه عصبی با ساختار ۳-۸-۳ با توابع آستانه لگاریتمی و تائزات سیگموئید با ضریب تعیین ۰.۹۹۹۸ و مقدار میانگین مربعات خطای ۰.۰۰۰۰۲ در مقایسه با سایر ساختارهای شبکه، نتایج مطلوب‌تری داشت [۱۶]. همچنین از روش‌های الگوریتم ژنتیک و شبکه عصبی مصنوعی به منظور مدل‌سازی فرایند خشک کردن برش‌های هویج استفاده شد، محققان در نتایج بدست آمده این روش را جهت مدل‌سازی فرایندهای خشک کردن مواد غذایی را یک روش قدرتمند معرفی کردند [۱۷]. در پژوهشی مدل‌سازی انتقال جرم در فرایند آبگیری اسمزی پوست لیموی آفریقایی توسط شبکه عصبی مصنوعی انجام شد. ورودی‌ها (دما، زمان غوطه وری در محلول اسمزی و غلظت مواد جامد) و خروجی‌های (میزان دفع آب و جذب مواد جامد) این پژوهش توسط شبکه عصبی چند لایه مورد بررسی قرار گرفت و نتایج نشان داد که بهترین پیش‌بینی به وسیله شبکه‌ای با یک لایه مخفی، پنج نرون و روش بهینه‌سازی لیونبرگ-مارکوارت بدست می‌آید [۱۸].

هدف از انجام این تحقیق، پیش‌بینی سنتیک خشک کردن توت سیاه به روش مادون قرمز دو طرفه و بهینه سازی انرژی لازم جهت خشک کردن آن می‌باشد. همچنین مدل‌سازی فرایند انتقال جرم با استفاده از روش الگوریتم ژنتیک- شبکه عصبی مصنوعی انجام و ویژگی‌های ساختار شبکه عصبی بهینه گزارش می‌شود.

۲. مواد و روش‌ها

۲.۱ تهیه نمونه

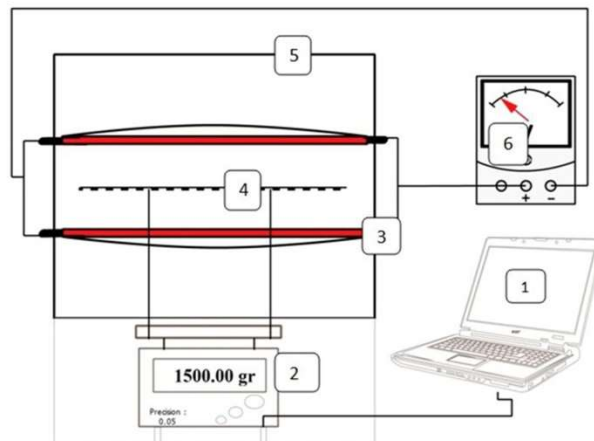
توت سیاه از واریته Morus nigra تاره برداشت شده از بازار محلی در شهر گرگان خریداری شده و بلافاصله بعد از خریداری توت سیاه، نمونه‌های معیوب جدا شده و نمونه‌هایی با طول یکنواخت (3 ± 0.3 cm) انتخاب شدند. برای جلوگیری از ایجاد شرایط نامطلوب، نمونه قبل از شروع آزمایشات حداقل ۲۴ h در یخچال (7°C) نگهداری شد. [۱۰].

$$\tanh = \frac{e^x - e^{-x}}{e^x + e^{-x}} \quad (3)$$

در این پژوهش از نرم افزار نروسلولوشن ورژن ۶ ساخت شرکت Neuro Dimension به منظور مدل‌سازی الگوریتم ژنتیک - شبکه عصبی خشک‌کردن توت سیاه استفاده گردید. با استفاده از نرم افزار ذکر شده با تغییر نوع تابع فعال‌سازی، تعداد داده‌های استفاده شده جهت یادگیری، آزمون و ارزیابی و قاعده یادگیری لونبرگ-مارکوارت، بهترین ساختار جهت دست‌یابی به شبکه بهینه بررسی شد. جهت ارزیابی شبکه عصبی مورد بررسی و پیشگویی پارامترها از شاخص ضربی همبستگی و میانگین مربع خطاهای استفاده گردید [۱۹]. نتایج این آزمایش به صورت فاکتوریل تجزیه و تحلیل گردید اما میانگین‌ها در قالب طرح کاملاً تصادفی به کمک نرم افزار SPSS version 22 در سطح احتمال ۵٪ مورد بررسی و تجزیه و تحلیل قرار گرفت.

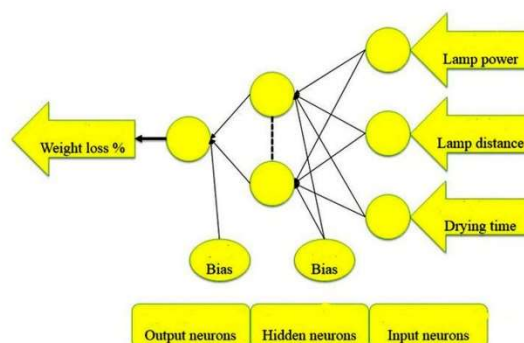
مدت زمان خشک‌کردن) و یک خروجی (درصد کاهش رطوبت) به منظور خشک‌کردن توت سیاه در نظر گرفته شد (شکل ۲). برای مدل‌سازی به روش الگوریتم ژنتیک برای بهینه‌سازی تعداد نرون‌ها در لایه پنهان (تعداد نرون‌های لایه پنهان به نوع کاربرد و شرایط تعیین پارامترهای شبکه وابسته است) که حداقل زمان صرف شده و حداقل خطای را در برداشت استفاده شد. جمعیت اولیه برای تولید نسل‌ها ۱۰۰ و حداکثر تعداد نسل‌ها نیز ۱۰۰ در نظر گرفته شده است. از توابع فعال‌سازی خطی، سیگموئیدی (رابطه ۲) و تائزانت هیپربولیک (رابطه ۳) که متدائل ترین نوع توابع فعال‌سازی هستند، در لایه پنهان و خروجی استفاده گردید. در این پژوهش به منظور یادگیری شبکه، روش بهینه‌سازی لونبرگ-مارکوت که یکی از پرکاربردترین الگوریتم‌های یادگیری است استفاده شد [۱۹, ۱۴].

$$\text{sig} = \frac{1}{1+e^{-x}} \quad (2)$$



شکل (۱) دستگاه خشک‌کن دو طرفه مادون قرمز: ۱. کامپیوتر، ۲. ترازو، ۳. لامپ‌های مادون قرمز، ۴. محل قرار دادن نمونه، ۵. محفظه خشک‌کن، ۶. واریابل

Fig. 1. Two-way infrared dryer: 1. Computer, 2. Scales, 3. infrared lamps, 4. sample placement, 5.dryer chamber, 6.varibal



شکل (۲) ساختار شبماتیک ورودی و خروجی‌های شبکه عصبی مصنوعی سه لایه (۳/n/۱)

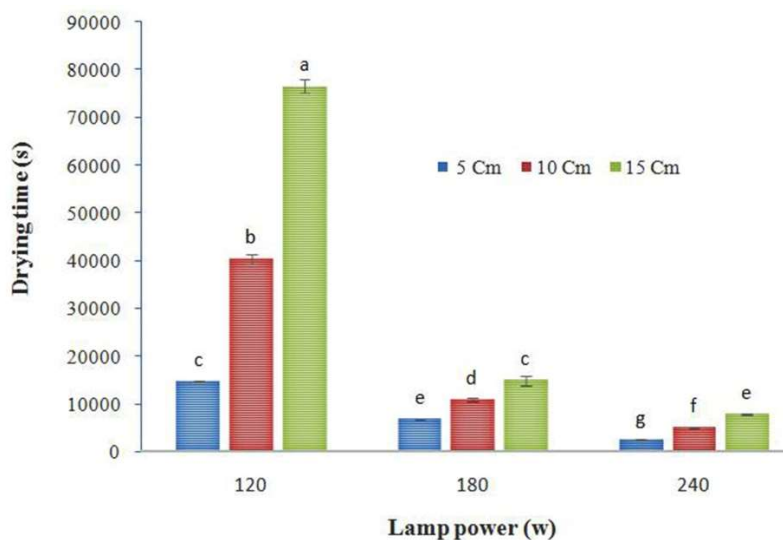
Fig. 2. Three-layer artificial neural inputs and output structure (4/n/1)

لامپ‌ها از ۱۲۰ به ۲۴۰ W، برای رسیدن میزان رطوبت به ۱۰٪ زمان خشکشدن توت سیاه از ۴۵/۰۸ به ۴/۶ h است کاهش یافت (فاصله ۱۰ cm). استفاده از توان‌های مختلف لامپ مادون قرمز بر روی زمان خشکشدن توت سیاه معنی‌دار است. به وضوح میزان طولانی شدن زمان خشکشدن در توان‌های کمتر نسبت به توان بیشتر قابل مشاهده است که نتایج مشابه توسعه مطالعه سایر پژوهش‌گران بر روی توت‌های مختلف مشاهده گردید [۱۰، ۲۲].

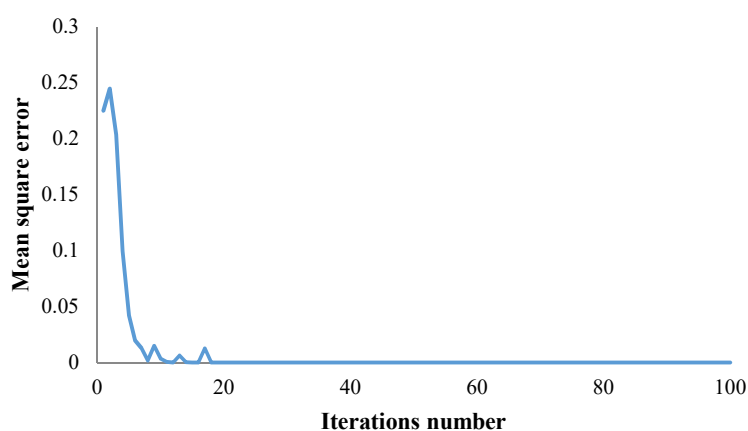
۳. نتایج و بحث

۱.۳. خشک کردن

جهت بررسی اثر توان لامپ مادون قرمز بر زمان خشکشدن توت سیاه، لامپ‌های مادون قرمز با مجموع توان‌های ۱۲۰، ۱۸۰ و ۲۴۰ W استفاده گردید. نتایج نشان داد که تغییر توان لامپ اثر معنی‌داری ($p < 0.05$) بر زمان خشکشدن توت سیاه دارد و با افزایش توان مصرفی، زمان خشکشدن کاهش می‌یابد. مطابق شکل (۳) در یک فاصله ثابت از نمونه‌ها با افزایش توان مصرفی



شکل (۳) تأثیر توان مصرفی لامپ مادون قرمز در زمان خشک کردن توت سیاه توسط سامانه مادون قرمز تا درصد رضوبت ثابت (فاصله ۱۰ W و توان مصرفی ۱۸۰، ۱۲۰ و ۲۴۰ W)



شکل (۴) تأثیر فاصله لامپ مادون قرمز در خشک کردن توت سیاه توسط سامانه مادون قرمز بر درصد کاهش رطوبت (فاصله ۵، ۱۰ و ۱۵ cm و توان ۱۸۰ W)

Fig. 4. The effect of infrared lamp distance on blackberry drying in infrared system on moisture loss percentage (distances 5, 10 and 15 cm and power 180 W)

به طور کلی شبکه عصبی مصنوعی به منظور بدست آوردن بردارهای وزن و بایاس شبکه عصبی بهینه، مورد فرایند آموزش قرار می‌گیرد و مقادیر وزن و بایاس متناظر با هر نرون برای شبکه عصبی دارای ۸ نرون در لایه پنهان در جدول (۱) نشان داده شده است. مقادیر واقعی داده‌های ارزیابی (۷۰ درصد داده استفاده نشده توسط شبکه) و پیشگویی شده درصد کاهش وزن توسط شبکه عصبی بهینه ($\frac{۳}{۸} / ۱۱$) با ضریب همبستگی $R^2 = 0.999$ در شکل (۶) نشان داده شده است. مقدار بالای ضریب همبستگی نشان دهنده کارایی بالای شبکه عصبی مصنوعی است.

نتایج مختلفی در همین زمینه توسط شبکه عصبی مصنوعی گزارش شده است که به طور مثال در مدل‌سازی انتقال جرم آبگیری اسمزی پوست لیموی آفریقایی، شبکه عصبی چند لایه موردن استفاده قرار گرفت و نتایج نشان داد که بهترین شبکه با یک لایه مخفی، پنج نرون و روش بهینه‌سازی لیونبرگ-مارکوت به دست می‌آید [۱۸]. همچنین در مطالعه مشابهی برای پیشگویی انتقال جرم در زردآلو آبگیری شده از شبکه عصبی چند لایه پرسپترون استفاده شد که نشان داد شبکه‌ای با تعداد ۱۴ نرون در یک لایه پنهان به خوبی درصد کاهش پارامترهای خروجی را پیشگویی می‌نماید [۱۵]. در مطالعه‌ای به منظور بررسی خشک‌کردن توت سفید با استفاده از جریان هوای گرم از شبکه عصبی چند لایه برای مدل‌سازی کاهش رطوبت در توت سفید استفاده شد که گزارش شد شبکه عصبی با ساختار (۳-۸-۳) با توابع آستانه لگاریتمی و تائزانت سیگموئید با ضریب تعیین (۰.۹۹۹۸) و مقدار میانگین مربعات خطای (۰.۰۰۰۰۲) به خوبی می‌تواند فرایند را پیشگویی کند [۱۶].

آزمون آنالیز حساسیت بر روی شبکه بهینه به دست آمده، برای شناسایی تأثیرگذارترین عامل و مقدار تأثیرگذاری پارامترهای ورودی در این پژوهش انجام شد. با توجه به نتایج نشان داده شده در شکل (۷) زمان خشک‌کردن در میان سایر متغیرهای ورودی، به عنوان مؤثرترین عامل در پیشگویی درصد کاهش وزن طی خشک‌کردن توت سیاه به روش مادون قرمز دو طرفه است.

جهت بررسی اثر فاصله لامپ مادون قرمز از سطح نمونه‌ها بر زمان خشک‌شدن تابش دهی از دو جهت در فاصله‌های ۵، ۱۰ و ۱۵ cm از سطح نمونه‌ها انجام شد. مطابق شکل (۴) با کاهش فاصله لامپ مادون قرمز از سطح نمونه‌ها زمان خشک‌شدن نمونه‌های توت سیاه تا رطوبت ثابت ۱۰ درصد به شکل معنی داری ($P < 0.05$) کاهش یافت. برای خشک‌کردن توت سیاه با افزایش فاصله لامپ با توان مصرفی $W = ۱۸۰$ از ۱۵ به ۵ cm، برای رسیدن میزان رطوبت به ۱۰٪ زمان خشک‌شدن توت سیاه از ۱۷/۰/۸ به ۶/۶ h کاهش یافت (توان ۲۴۰ W). نتایج مشابهی مبنی بر کاهش زمان خشک‌شدن با کاهش میزان فاصله نمونه از منبع تابش توسط سایر محققان بر روی میوه‌ها و سبزی‌ها گزارش شده اند [۲۱، ۲۰].

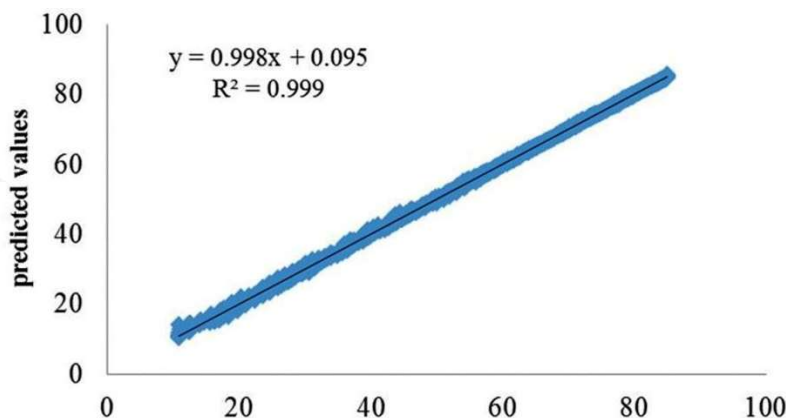
۲.۳. نتایج مدل‌سازی الگوریتم ژنتیک-شبکه عصبی مصنوعی

به منظور پیشگویی درصد کاهش وزن در طی خشک‌کردن توت سیاه به روش مادون قرمز دوطرفه از مدل‌سازی الگوریتم ژنتیک-شبکه عصبی مصنوعی استفاده گردید. توان لامپ، فاصله نمونه از لامپ و مدت زمان خشک‌کردن به عنوان ورودی‌های شبکه و درصد کاهش رطوبت به عنوان خروجی شبکه انتخاب گردید. تابع فعال‌سازی سیگموئیدی، به عنوان تابع فعال‌سازی در لایه پنهان و خروجی به علت مقدار خطای کمتر این تابع، انتخاب گردید. ۱۵٪ داده‌ها برای آموزش استفاده شدند که در این مقدار شبکه به خوبی قادر به یادگیری روابط بین ورودی‌ها و خروجی‌ها است و با استفاده از روش آزمون و خطای این مقدار به دست آمد. ۱۵٪ داده‌ها نیز برای آزمون شبکه آموزش دیده و ۷۰٪ باقی مانده داده‌ها به منظور ارزیابی شبکه استفاده گردیدند. براساس نتایج این پژوهش شبکه عصبی مصنوعی دارای ۸ نرون در لایه پنهان می‌تواند به خوبی درصد کاهش رطوبت ($R^2 = 0.999$) در طی خشک‌کردن به روش مادون قرمز دوطرفه را پیشگویی نماید. مقدار میانگین مربعات خطای در برابر تعداد نسل‌های تشکیل شده، در شکل (۵) نشان داده شده است. با توجه به نتایج به دست آمده، در همان نسل‌های اول مقدار خطای کاهش می‌یابد و بعد از تشکیل حدود ۲۰ نسل، مقدار خطای نسل‌های تابعی می‌رسد.

جدول (۱) مقادیر وزن و بایاس متناظر با هر نرون در شبکه عصبی مصنوعی بهینه.

Table 1 The weights and bias values of optimized neural network.

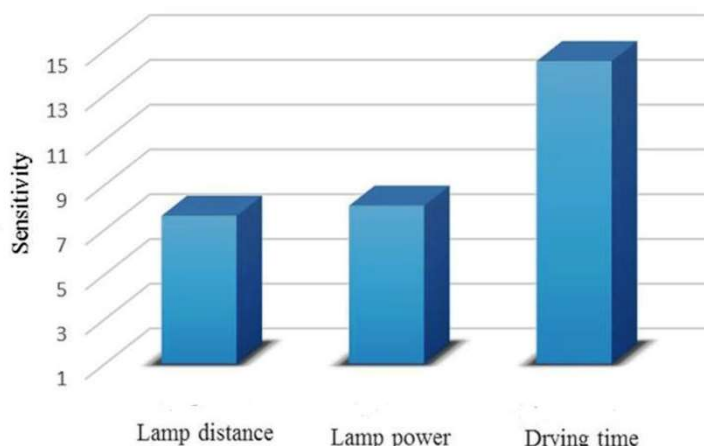
نرون خروجی Output neurons		نرون‌های ورودی Input neurons			نرون لایه پنهان Hidden neurons	
درصد کاهش وزن Weight loss %	زمان خشک کردن Drying time	فاصله لامپ Lamp distance	توان لامپ Lamp power	بایاس Bias	بایاس Bias	نرون لایه پنهان Hidden neurons
0.4060	1.9146	-4.4445	-1.8600	-1.5111	1	
0.6881	0.0222	0.8206	0.0001	-0.3711	2	
-1.8142	-0.2289	1.3067	1.0957	1.3895	3	
-3.9801	-2.7611	4.6777	1.3984	-1.2307	4	
2.4792	-0.3699	-1.5526	0.4502	-1.6413	5	
-1.0025	-1.4122	0.3048	0.6226	-0.8730	6	
0.9335	1.3526	-4.7981	-2.3079	0.9132	7	
-0.9857	-0.1578	0.0319	-0.9135	0.1029	8	
0.7175						Bias



Experimental data

شکل (۵) مقادیر تجربی داده‌های ارزیابی در برابر مقادیر پیشگویی شده درصد کاهش وزن طی خشک کردن توت سیاه به روش مادون قرمز

Fig. 5. Experimental data versus predicted values for weight loss during blackberry using infrared method



شکل (۶) نتایج آنالیز حساسیت مدل‌سازی خشک کردن توت سیاه به روش مادون قرمز

Fig. 6. Sensitivity analysis of results from modeling the black mulberry drying by infrared method

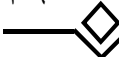
۴. نتیجه گیری

شبکه عصبی مصنوعی جهت پیشگویی درصد کاهش وزن به عنوان تابعی از توان لامپ مادون قرمز، فاصله نمونه از لامپ و زمان خشک کردن (وروودی‌های شبکه) در طی خشک کردن به روش مادون قرمز دو طرفه استفاده گردید. از روش الگوریتم ژنتیک جهت بهینه سازی تعداد نرون‌ها در لایه مخفی شبکه عصبی مصنوعی استفاده گردید. نتایج نشان داد شبکه دارای ۸ نرون در یک لایه پنهان و استفاده از تابع فعال سازی سیگموئیدی در لایه پنهان و خروجی به خوبی قادر به پیشگویی درصد کاهش وزن با ضریب همبستگی بالا ($R^2 = 0.999$) می‌باشد. با توجه به نتایج آنالیز حساسیت، زمان خشک کردن به عنوان مؤثرترین پارامتر بر تغییر درصد کاهش وزن توت سیاه است.

خشک کردن یکی از روش‌هایی است که با کمک آن می‌توان ماندگاری توت سیاه را افزایش داد. در این تحقیق، تاثیر مدت زمان خشک کردن، توان‌های مختلف مادون قرمز و فواصل مختلف نمونه توت سیاه از لامپ مادون قرمز بر روی ویژگی‌های خشک کردن توت سیاه با استفاده از روش مادون قرمز دو طرفه، مورد بررسی قرار گرفت. هر سه متغیر ذکر شده بر مقدار خروج آب و کاهش رطوبت مؤثر بودند و با افزایش توان تابش مادون قرمز، کاهش فاصله نمونه از منبع تابش و افزایش مدت زمان فرایند، میزان درصد کاهش وزن و در نتیجه سرعت خشک شدن افزایش یافت. در این پژوهش، از مدل‌سازی الگوریتم ژنتیک-

منابع

- [9] Lurie, S., Nussinovitch, A. (1996). Compression characteristics, firmness, and texture perception of heat treated and unheated apples. *J. Food Sci. Technol Res*, 31(1), 1-5.
- [10] Lin, Y. P., Lee, T. Y., Tsen, J. H., King, V. A. E. (2007). Dehydration of yam slices using FIR-assisted freeze drying. *J. Food Eng*, 79(4), 1295-1301.
- [11] Jun, S., Krishnamurthy, K., Irudayaraj, J., Demirci, A. (2010). Fundamentals and theory of infrared radiation. Pan, Z., and Atungulu, GG, eds., Infrared heating for food and agricultural processing: Boca Raton, Florida, CRC Press, 1-9.
- [12] Aidani, E., Hadadkhodaparast, M., Kashaninejad, M. (2017). Experimental and modeling investigation of mass transfer during combined infrared-vacuum drying of Hayward kiwifruits. *Food Sci. Nutr*, 5(3), 596-601.
- [13] Wu, J., Zhang, H., Li, F. (2017). A study on drying models and internal stresses of the rice kernel during infrared drying. *Drying Technol*, 35(6), 680-688.
- [14] Younis, M., Abdelkarim, D., El-Abdein, A. Z. (2018). Kinetics and mathematical modeling of infrared thin-layer drying of garlic slices. *Saudi J. Biol. Sci*, 25(2), 332-338.
- [15] Orikasa, T., Ono, N., Watanabe, T., Ando, Y., Shiina, T., Koide, S. (2018). Impact of blanching pretreatment on the drying rate and energy consumption during far-infrared drying of Paprika (*Capsicum annuum* L.). *Food Quality Safety*, 2(2), 97-103.
- [16] Rad, S. J., Kaveh, M., Sharabiani, V. R., Taghinezhad, E. (2018). Fuzzy logic, artificial neural network and mathematical model for prediction of white mulberry drying kinetics. *Heat Mass Transf*, 54(11), 3361-3374.
- [1] Ercisli, S., Orhan, E. (2008). Some physico-chemical characteristics of black mulberry (*Morus nigra* L.) genotypes from Northeast Anatolia region of Turkey. *Sci. Hortic*, 116(1), 41-46.
- [2] Suh, H. J., Noh, D. O., Kang, C. S., Kim, J. M., Lee, S. W. (2003). Thermal kinetics of color degradation of mulberry fruit extract. *Food - Nahrung*, 47(2), 132-135.
- [3] Lin, J. Y., Tang, C. Y. (2007). Determination of total phenolic and flavonoid contents in selected fruits and vegetables, as well as their stimulatory effects on mouse splenocyte proliferation. *Food chem*, 101(1), 140-147.
- [4] Hertog, M. G., Sweetnam, P. M., Fehily, A. M., Elwood, P. C., Kromhout, D. (1997). Antioxidant flavonols and ischemic heart disease in a Welsh population of men: the Caerphilly Study. *Am J Clin Nutr*, 65(5), 1489-1494.
- [5] Singhal, B. K., Khan, M. A., Dhar, A., Baqual, F. M., Bindroo, B. B. (2010). Approaches to industrial exploitation of mulberry (mulberry sp.) fruits. *J. Fruit Ornam Plant Res*, 18, 83-99.
- [6] Arslan, O., Erzengin, M., Sinan, S., Ozensoy, O. (2004). Purification of mulberry (*Morus alba* L.) polyphenol oxidase by affinity chromatography and investigation of its kinetic and electrophoretic properties. *Food Chem*, 88(3), 479-484.
- [7] Fellows, P. J. (2009). Food processing technology: principles and practice. Elsevier.
- [8] Moreira, R., Figueiredo, A., Sereno, A. (2000). Shrinkage of apple disks during drying by warm air convection and freeze drying. *Drying Technol*, 18(1-2), 279-294.



[17] Jafari, S. M., Ganje, M., Dehnad, D., Ghanbari, V. (2016). Mathematical, fuzzy logic and artificial neural network modeling techniques to predict drying kinetics of onion. *J. Food Process. Pres.*, 40(2), 329-339.

[18] Bahmani, A., Jafari, S. M., Shahidi, S. A., Dehnad, D. (2016). Mass transfer kinetics of eggplant during osmotic dehydration by neural networks. *J. FOOD PROCESS PRES.*, 40(5), 815-827.

[19] Bahmani, A., Jafari, S. M., Shahidi, S. A., Dehnad, D. (2016). Mass transfer kinetics of eggplant during osmotic dehydration by neural networks. *J. Food Process Pres.*, 40(5), 815-827.

[20] Bahramparvar, M., Salehi, F., Razavi, S. M. (2014). Predicting total acceptance of ice cream using artificial neural network. *J. Food Process Pres.*, 38(3), 1080-1088.

[21] Salehi, F., Abbasi Shahkoh, Z., Godarzi, M. (2014). Apricot Osmotic Drying Modeling Using Genetic Algorithm-Artificial Neural Network. *Innov Food Sci. Technol.*

[۲۲] اصغری، م؛ ابراهیمی، رحیم؛ حسین زاده، ب؛ قنبریان، د.

(۱۳۹۶). مدل‌سازی پارامترهای کیفی توت سفید در فرایند خشک‌شدن با استفاده از شبکه عصبی مصنوعی. مهندسی بیوپردازی ایران، دوره ۴۸، شماره ۱، ۹-۱۸.

[23] Erenturk, S., Erenturk, K. (2007). Comparison of genetic algorithm and neural network approaches for the drying process of carrot. *J. Food Eng.*, 78(3), 905-912.

[24] Lertworasirikul, S., & Saetan, S. (2010). Artificial neural network modeling of mass transfer during osmotic dehydration of kaffir lime peel. *J. Food Eng.*, 98(2), 214-223.

[25] Salehi, F., & Razavi, S. M. (2016). Modeling of waste brine nanofiltration process using artificial neural network and adaptive neuro-fuzzy inference system. *Desalination and Water Treatment*, 57(31), 14369-14378.

[۲۶] اسدی امیرآبادی، ع؛ کاشانی نژاد، م؛ صالحی، ف. (۱۳۹۶).

مدل‌سازی فرایند خشک‌کردن بادمجان توسط سامانه مادون قرمز به روش الگوریتم ژنتیک-شبکه عصبی مصنوعی. نشریه فرآوری و نگهداری مواد غذایی دوره ۹، شماره ۱، ۸۵-۹۶.

[۲۷] [آیدانی، ع؛ خدابرست، ح؛ کاشانی نژاد، مهدی. (۲۰۱۷).

بررسی خصوصیات کیوی خشک شده با سامانه مادون قرمز و مدل‌سازی فرایند علوم غذایی و تغذیه، دوره ۱۴، ۵۳-۶۶.

[28] Puente-Díaz, L., Ah-Hen, K., Vega-Gálvez, A., Lemus-Mondaca, R., Scala, K. D. (2013). Combined infrared-convective drying of murta (Ugni molinae Turcz) berries: kinetic modeling and quality assessment. *Drying Technol.*, 31(3), 329-338.

Research Article**Modeling of Black mulberry drying process with two-way infrared system by Genetic Algorithm-Artificial Neural network****Alireza asadi amirabadi^{*1}, Mahdi Shavandi², Mahdi Kashani nejad³**

1. Ph. D. Student, Department of Food Science and Technology, Gorgan University of Agricultural Sciences and Natural Resources, Gorgan, Iran.
2. M. Sc. Student, Department of Food Science and Technology, Gorgan University of Agricultural Sciences and Natural Resources, Gorgan, Iran.
3. Professor, Department of Food Science and Technology, Gorgan University of Agricultural Sciences and Natural Resources, Gorgan, Iran.

Abstract

Black mulberry is a very important and rich source of polyphenols and anthocyanin's that dry and maintain can be valuable. The use of infrared radiation as a new method in drying preserves the quality of the final product, which increases the speed of drying and reduces the cost of the process. The effect of 120, 180, 240 W of infrared power, 5, 10 and 15 cm of sample distance from infrared source and drying time on black mulberry drying were investigated. Modeling of black mulberry drying was used to predict the output of this study using genetic algorithm-artificial neural network with four inputs (infrared power, sample distance from infrared source and drying time) and one output (weight loss percentage). It was determined that by increasing the infrared power and reducing the distance between the samples and the infrared lamp, the drying rate of black mulberry was significantly increased by two-way infrared ($P<0.05$). The sigmoid activation function was selected as the activation function in the hidden layer and output layer due to the lower error value than other functions. According to the test method and the fault method, 15% of the data was used for training to achieve the best learning conditions for the relationships between inputs and outputs by the network. 15% of the data was used for the trained network test, and 60% of the remaining data was used to evaluate the network. According to the results, it can be concluded that using the sigmoid activation function and the network with 8 neurons in a hidden layer, we can well analyze the percentage of weight loss using the genetic algorithm-artificial neural network during the black mulberry drying process was predicted by two-way infra-red method ($R^2=0.999$). Drying time was introduced as the most effective factor for controlling black mulberry weight loss using sensitivity analysis by optimal neural network.

Keywords: Neural Network, Genetic Algorithm, Black mulberry, Prediction, Two-Way Infrared.

* Corresponding author: kashaninejad@yahoo.com